

روش تولید فورج سرد



آزمایش های پیچ



آزمایش های پیچ

۱- آزمایش کشش

۱-۱- آزمایش بارگواه

۱-۲- آزمایش کشش گوه ای بر روی نمونه کامل

۱-۳- آزمایش کشش بر روی نمونه ماشینکای شده

۲- آزمایش سختی سنجی

۳- آزمایش ضربه (در صورت وجود بارگذاری خستگی)

آزمایش های پیچ

آزمایش کشش گوه ای پیچ



آزمایش کشش
گوه ای پیچ



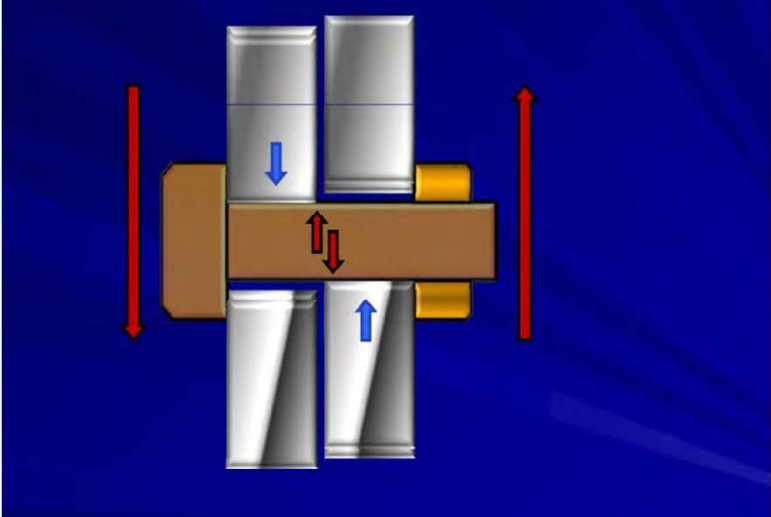
رفتار کلی اتصالات با پیچ و مهره

رفتار اتصالات با پیچ و مهره

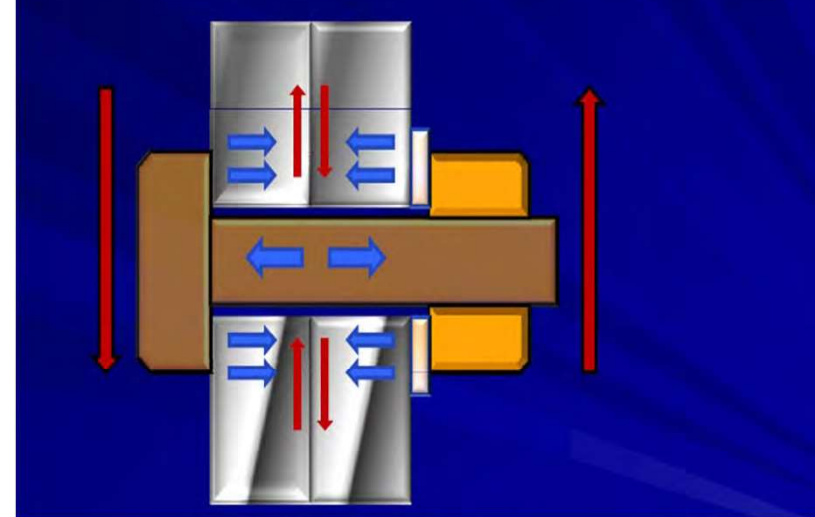
۱- اتصالات اتکایی

۲- اتصالات اصطحکاکی

طراحی اتصالات اتکایی



طراحی اتصالات اصطحکاکی



الزمات اتصال اصطحكاكي

عدم رنگ آمیزی سطوح اتصالات اصطحكاکی



الزمات تامین سطح
تماس ورق ها در اتصالات
اصطحكاکی



ردہ مقاومتی پیچ ها

۱-۲-۵. ردہ مقاومتی پیچ های تولیدی در ایران بر اساس جدول زیر می باشد:

| مقدار رزوہ | نوع عملکرد | تنش مجاز کششی F_y | استحکام کشش نهایی F_u | $\frac{F_u}{F_y}$ | کد پیچ |
|------------|------------|-------------------------|--------------------------|-------------------|------------|
| نیم رزوہ | اتکایی | 6400 kg/cm ² | 8000 kg/cm ² | 8.8 | DIN931 |
| | | 9000 kg/cm ² | 10000 kg/cm ² | 10.9 | |
| تمام رزوہ | اتکایی | 6400 kg/cm ² | 8000 kg/cm ² | 8.8 | DIN933 |
| | | 9000 kg/cm ² | 10000 kg/cm ² | 10.9 | |
| نیم رزوہ | اصطکاکی | 9000 kg/cm ² | 10000 kg/cm ² | 10.9 | DIN6914-HV |

ردہ مقاومتی پیچ ہا

| نش مجاز کششی F_y | استحکام کششی نهایی F_U | کد پیچ |
|--|--|--------|
| 3000 kg/cm ² | 4200 kg/cm ² | A 307 |
| $d < 25\text{mm}$, 6400 kg/cm ² | $d < 25\text{mm}$, 8250 kg/cm ² | A 325 |
| $d \geq 25\text{mm}$, 5600 kg/cm ² | $d \geq 25\text{mm}$, 7250 kg/cm ² | |
| 9000 kg/cm ² | 10000 kg/cm ² | A 490 |

مشخصات پیچ های تولید شده در ایران

جدول ۱۰-۹-۲-۶ مشخصات پیچ های تولید یا موجود در ایران

| تنش کششی نهایی مصالح پیچ (F_u) | تنش تسلیم مصالح پیچ (F_y) | نام استاندارد | | نوع پیچ |
|---------------------------------------|----------------------------------|---------------|------------------------------|-------------------|
| | | ISO | ASTM | |
| ۴۰۰ MPa | ۲۴۰ MPa | - | A۳۰۷ | پیچ های معمولی |
| ۴۰۰ MPa | ۲۴۰ MPa | ۴.۶ | - | |
| ۴۲۰ MPa | ۳۲۰ MPa | ۴.۸ | - | |
| ۵۰۰ MPa | ۳۰۰ MPa | ۵.۶ | - | |
| ۵۲۰ MPa | ۴۰۰ MPa | ۵.۸ | - | |
| ۶۰۰ MPa | ۴۸۰ MPa | ۶.۸ | - | |
| ۸۰۰ MPa | - | | A۳۲۵ $d \leq 24\text{mm}$ | پیچ های پر مقاومت |
| ۷۲۵ MPa | - | - | A۳۲۵ $d > 24\text{mm}$ | |
| ۱۰۰۰ MPa | - | - | A۴۹۰ | |
| ۸۰۰ MPa | - | ۸.۸ | | |
| ۱۰۰۰ MPa | - | ۱۰.۹ | | |
| ۱۲۰۰ MPa | - | ۱۲.۹ | | |

نیروی پیش تنیدگی

نیروی پیش تنیدگی در ویرایش های قدیمی (اروپا)

$$\begin{aligned} T_m &= 0.55F_u \\ A_n \end{aligned}$$

$$Load = 0.55F_u \left(\frac{\pi D^2}{4} \right) = 0.43F_u D^2$$

نیروی پیش تنیدگی در RCSC (آمریکا)

$$T_m = 0.7F_u$$

$$A_s = 0.7854(D - 0.9382P)^2$$

$$Load = 0.55F_u(D - 0.9328P)^2$$

D قطر اسمی و P گام پیچ است.

بار دوام یا نیروی پیش تنیدگی

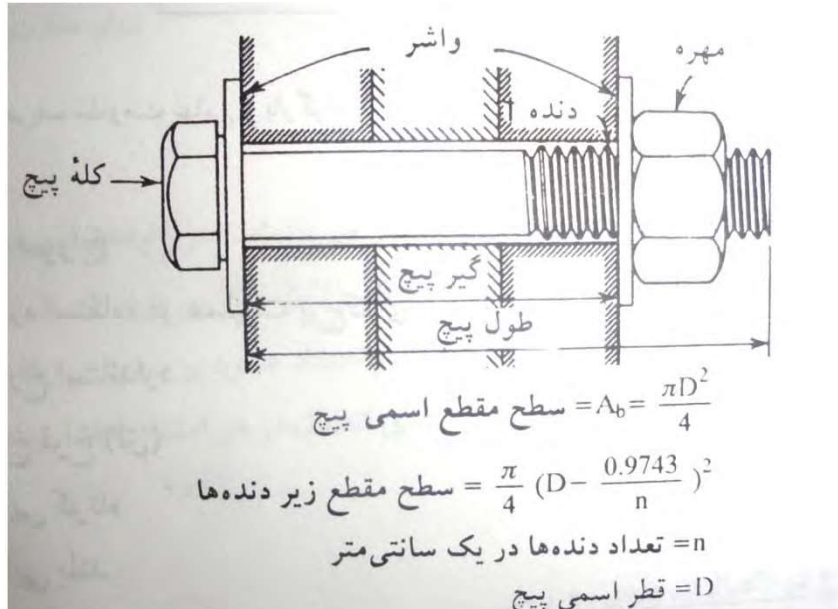
بار دوام برای پیچ های پر مقاومت در ضوابط ایران برابر است با :
 (جدول ۱۰-۹-۲-مبحث دهم)

$$T_i = 0.55 F_u \cdot A_b$$

: بار دوام T_i

: سطح مقطع اسمی پیچ A_b

: تنش نهایی مصالح پیچ F_u



بار دوام (حداکثر نیروی پیش‌تنیدگی) پیچ‌ها از جدول زیر معمین می‌شود (مبحث دهم ۹۲):

جدول ۷-۹-۲-۱۰ حداکثر نیروی پیش‌تنیدگی در اتصالات اصطکاکی (T_b)

| پیچ‌های نوع A۴۹۰ | پیچ‌های نوع A۳۲۵ | قطر اسمی پیچ (بر حسب میلی‌متر) |
|------------------|------------------|--------------------------------|
| ۱۱۴ kN | ۹۱ kN | M۱۶ |
| ۱۷۹ kN | ۱۴۲ kN | M۲۰ |
| ۲۲۱ kN | ۱۷۶ kN | M۲۲ |
| ۲۵۷ kN | ۲۰۵ kN | M۲۴ |
| ۳۳۴ kN | ۲۶۷ kN | M۲۷ |
| ۴۰۸ kN | ۳۲۶ kN | M۳۰ |
| ۵۹۵ kN | ۴۷۵ kN | M۳۶ |

تبصره: در مواردی که قطر اسمی پیچ غیر از اعداد ذکر شده در جدول ۷-۹-۲-۱۰ باشد، حداکثر نیروی پیش‌تنیدگی را می‌توان برابر $\frac{55A_{eb}F_u}{7A_{eb}F_u + 0}$ (که معادل $0.785A_{nb}$ است) در نظر گرفت، که در آن A_{nb} سطح مقطع اسمی پیچ، A_{eb} سطح مقطع خالص یا سطح مقطع زیر دندانه‌ها و F_u تنش کششی نهایی مصالح پیچ است.

روش های پیش تنیدن

روش های پیش تنیدن در اتصالات اصطکاکی

نظر به اهمیت این موضوع، مطالعات و تحقیقات گسترده ای در کشورهای پیشرفته دنیا صورت پذیرفته است و روش های مختلفی به منظور کنترل کیفیت اجرای اتصال پیشنهاد شده است که روش های زیر مورد تایید کمیته RCSC است:



1. استفاده از Calibrated Wrench
2. استفاده از DTI Washer
3. استفاده از Twist-off-Bolt
4. بکارگیری روش Turn-of-Nut

روش های پیش تنیدن



ترک متر

روش استفاده از ترک متر





واشرهای DTI



واشرهای (DTI)



واشرهای Direct Tension Indicator (DTI)

فیلر کنترل

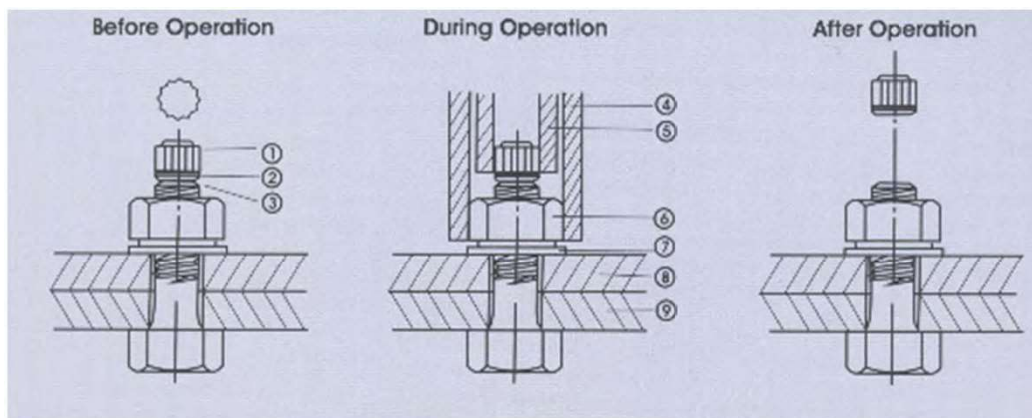
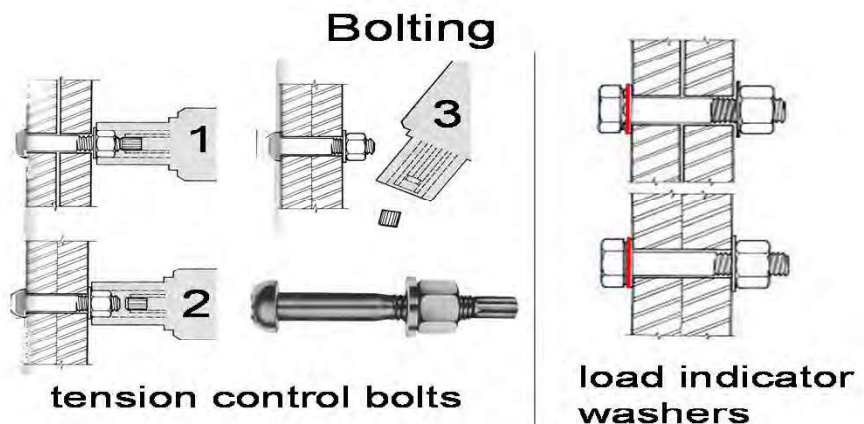


چرخش اضافی جهت پیش تنیدن

مقادیر چرخش اضافی مهره

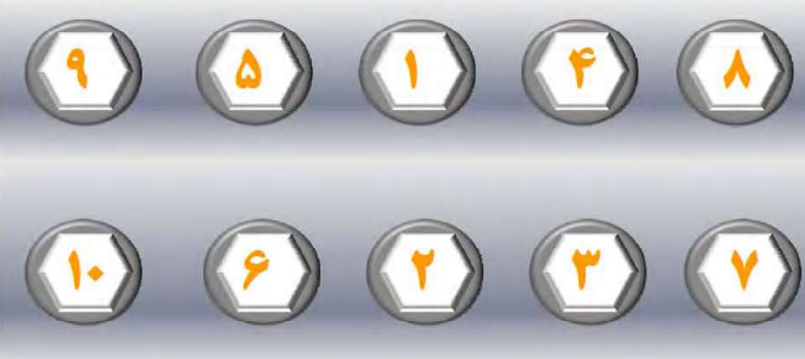
| طول پیچ | وضعیت قرارگیری سطوح اتصال بر روی هم | | | |
|--|-------------------------------------|--------------------------------------|--|--|
| | سطح روی هم بدون شیب | یک سطح شیبدار با شیب کمتر از ۱:۲۰ | هردو سطح شیبدار با شیب کمتر از ۱:۲۰ | |
| طول پیچ کوچکتر یا مساوی چهار برابر قطر پیچ | ۱/۳ دور | ۱/۲ دور | ۲/۳ دور | |
| طول پیچ از چهار برابر قطر بزرگتر اما کوچکتر یا مساوی هشت برابر قطر پیچ | ۱/۲ دور | ۲/۳ دور | ۵/۶ دور | |
| طول پیچ از هشت برابر قطر بزرگتر اما کوچکتر یا مساویدوازده برابر قطر پیچ | ۲/۳ دور | ۵/۶ دور | ۱ دور | |

TC-BOLT



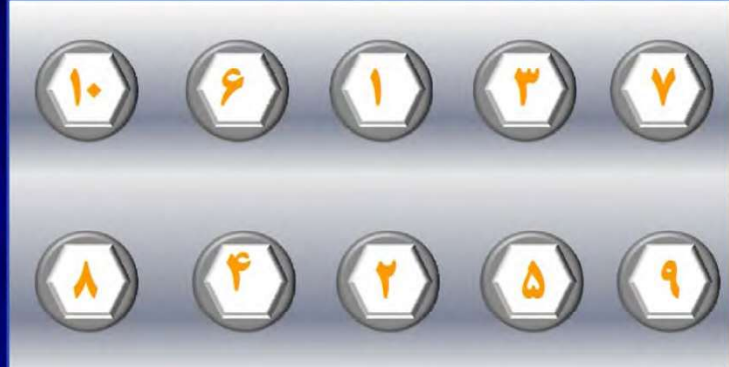
نحوه بستن پیچ ها

Spiral Tightening Sequence



حرکت حلقه ای شکل

Criss-Cross Tightening Sequence



حرکت ضربه‌ای

نکات پیچ ها و جوش ها

ترکیب پیچ و جوش: اگر اتصال اتکایی باشد، کل نیرو را جوش تحمل می کند (پیچ ها به درد نمی خورند)
اگر اتصال اصطکاکی باشد، جوش و پیچ در تحمل نیرو سهیم هستند (اگر سازه موجود با اتصال اصطکاکی را با
جوش تقویت کنیم، می توان فرض کرد جوش تنש های اضافی را تحمل می کند)

در اتصالات لرزه گیر کدام نوع اتصال باید استفاده شود:

تنها اصطکاکی

در اتصالات با بارگذاری متناوب (خستگی) کدام نوع اتصال باید استفاده شود:

تنها اصطکاکی

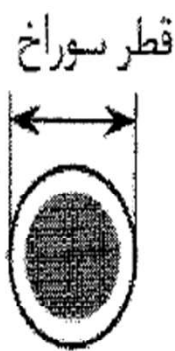
از پیچ معمولی در کدام نوع اتصال می توان استفاده کرد؟

تنها اتکایی

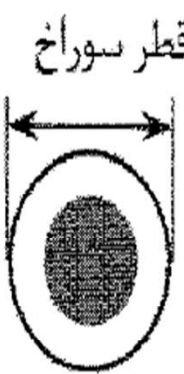
از پیچ اعلا در کدام نوع اتصال می توان استفاده کرد؟

هم اتکایی و هم اصطکاکی

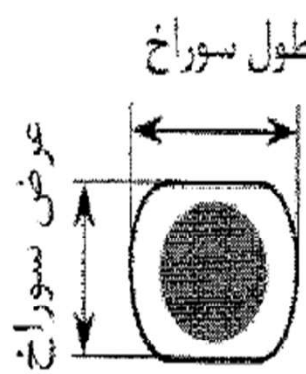
أنواع سوراخ ها در اتصالات پیچی



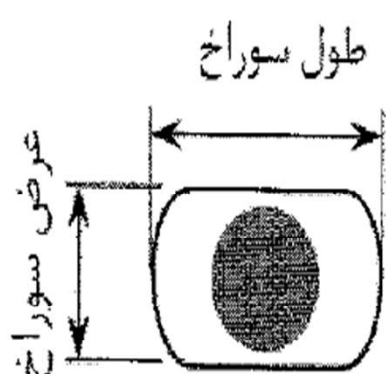
سوراخ استاندارد



سوراخ بزرگ شده



سوراخ لوبيائي کوتاه



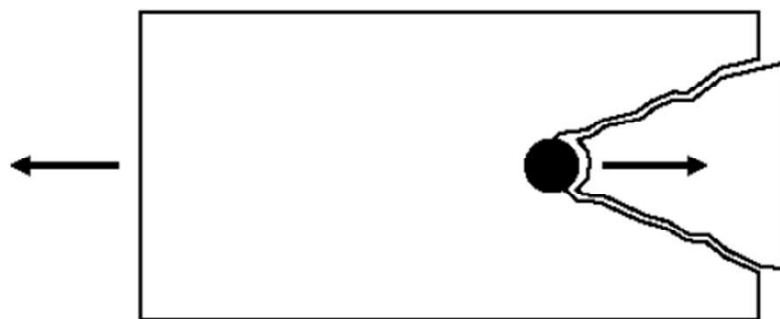
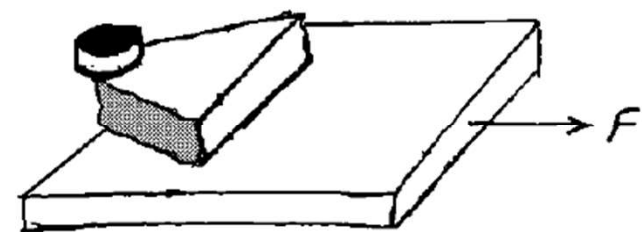
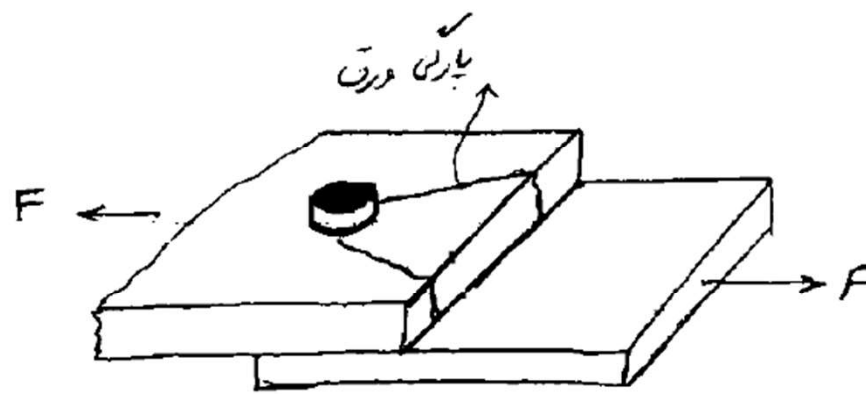
سوراخ لوبيائي بلند

ابعاد اسمی سوراخ ها

جدول ۸-۹-۱۰ ابعاد اسمی سوراخ پیچ بر حسب میلی متر

| ابعاد اسمی سوراخ (mm) | | | | قطر پیچ (mm) |
|---------------------------------|----------------------------------|----------------|-----------------|--------------|
| سوراخ لوبيایي بلند (طول×عرض) | سوراخ لوبيایي کوتاه (طول×عرض) | سوراخ بزرگ شده | سوراخ استاندارد | |
| ۱۸×۴۰ | ۱۸×۲۲ | ۲۰ | ۱۸ | M16 |
| ۲۲×۵۰ | ۲۲×۲۶ | ۲۴ | ۲۲ | M20 |
| ۲۴×۵۵ | ۲۴×۳۰ | ۲۸ | ۲۴ | M22 |
| ۲۷×۶۰ | ۲۷×۳۲ | ۳۰ | ۲۷ | M24 |
| ۳۰×۶۷ | ۳۰×۳۷ | ۳۵ | ۳۰ | M27 |
| ۳۳×۷۵ | ۳۳×۴۰ | ۳۸ | ۳۳ | M30 |
| $(d+3) \times 2/5 d$ | $(d+3) \times (d+10)$ | d+8 | d+3 | $\geq M36$ |

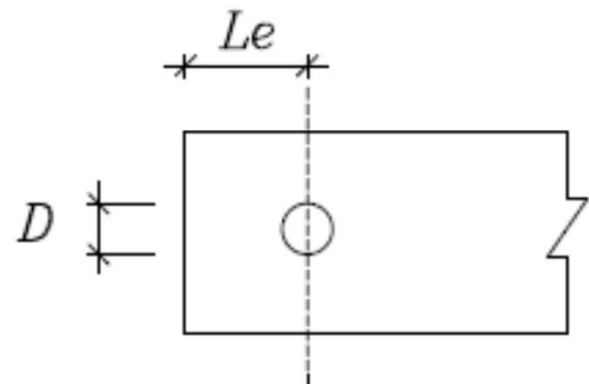
حداقل و حداکثر فواصل سوراخ استاندارد از لبه



Insufficient edge distance

Shearing out

حداقل و حداکثر فواصل سوراخ استاندارد از لبه



جدول ۸-۹-۲-۱۰ حداقل فاصله مرکز سوراخ استاندارد تا لبه در هر راستا

| | |
|---|--------------------------------|
| لبه نورد شده ورق-نیمرخ، تسمه و نیز لبه بریده شده با شعله اتوماتیک یا اره | لبه بریده شده با قیچی (گیوتین) |
| ۱/۷۵d | ۲d |

d = قطر اسمی پیچ

ث) حداکثر فاصله مرکز سوراخ تا لبه

حداکثر فاصله از مرکز هر پیچ تا نزدیکترین لبه قطعه در هر راستا به شرح زیر است.

۱. برای قطعاتی که تحت اثر خوردگی کم و متوسط ناشی از عوامل جوی قرار داشته باشند، فاصله از مرکز هر پیچ تا نزدیکترین لبه قطعه در هر راستا نباید از ۱۲ برابر ضخامت نازکترین قطعه و همچنین از ۱۵۰ میلی متر تجاوز کند.

۲. برای قطعاتی که تحت اثر خوردگی شدید ناشی از عوامل جوی قرار داشته باشند، فاصله از مرکز هر پیچ تا نزدیکترین لبه قطعه در هر راستا نباید از ۸ برابر ضخامت نازکترین قطعه و همچنین ۱۲۵ میلی متر تجاوز کند.

حداقل و حداقل فاصله مرکز به سوراخ ها

پ) حداقل فواصل سوراخ پیچها در اتصالات پیچی
فاصله مرکز تا مرکز سوراخهای استاندارد، سوراخهای بزرگ شده و سوراخهای لوبيایی نباید از ۳
برابر قطر وسیله اتصال کمتر باشد.

ج) حداکثر فاصله مرکز تا مرکز سوراخها در اتصالات پیچی
حداکثر فاصله مرکز تا مرکز سوراخها در اتصالات پیچی در هر راستا به شرح زیر است.

۱. برای قطعاتی که تحت اثر خوردگی کم و متوسط ناشی از عوامل جوی قرار داشته باشند، فاصله
بین مرکز سوراخها نباید از ۲۴ برابر ضخامت نازکترین قطعه متصل شونده و همچنین از ۳۰۰
میلیمتر تجاوز کند.

۲. برای قطعاتی که تحت اثر خوردگی شدید ناشی از عوامل جوی قرار داشته باشند، فاصله بین
مرکز سوراخها نباید از ۱۴ برابر ضخامت نازکترین قطعه متصل شونده و همچنین از ۲۰۰
میلیمتر تجاوز کند.

تنش های قراردادی

تنش های قراردادی

$$f_v = \frac{P}{m\left(\frac{\pi}{4}D^2\right)} \leq F_v \quad \text{تنش برشی موجود}$$

$$\frac{T}{n}$$

تعداد سطوح برش m

ضخامت ورق t

قطر محاسباتی پیچ D

بار یک پیچ P

نیروی کششی اتصال T

تعداد پیچ ها n

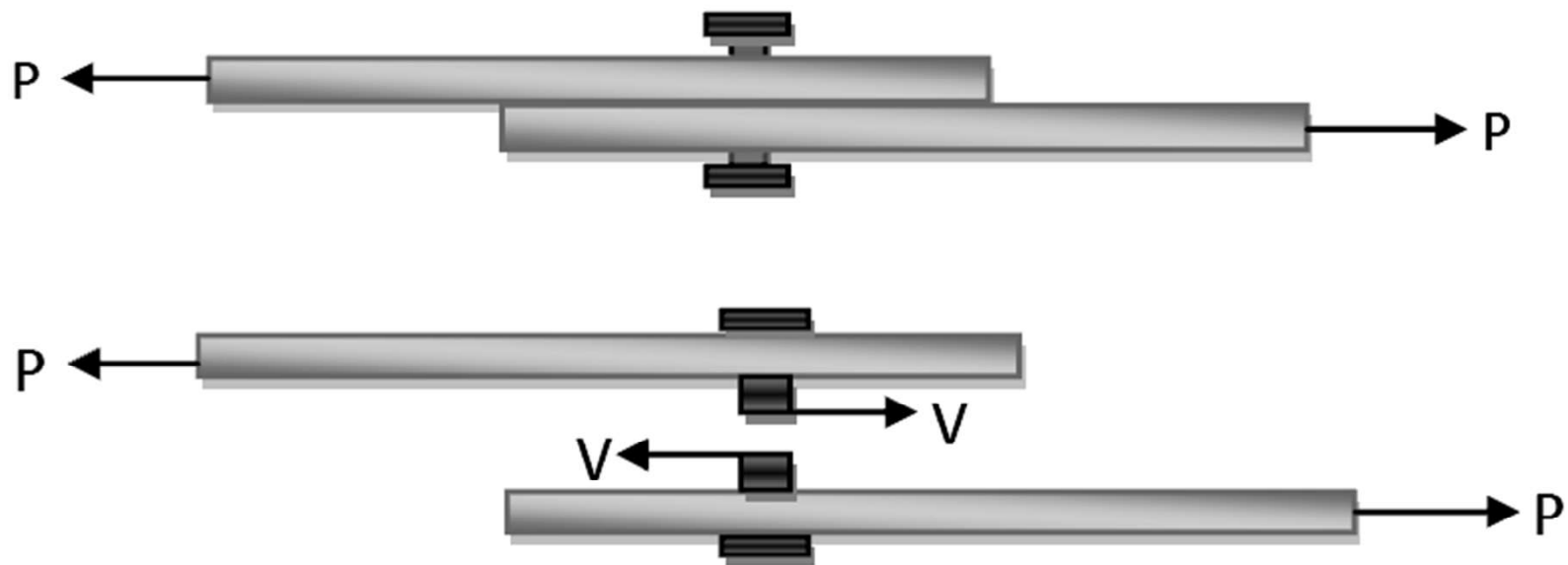
$$f_t = \frac{P}{\pi \cdot D^2} \leq F_t$$

$$f_p = \frac{P}{D \cdot t} \leq F_p$$

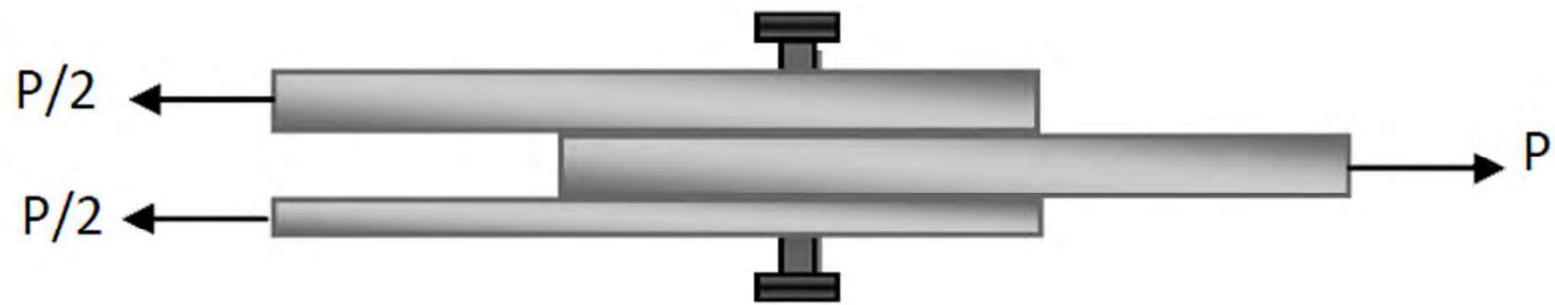
متاریست کششی

متاریست اتکایی

تک برشه



دو برشه



اتصالات اتکایی

در اتصالات اتکایی، مقاومت کششی طراحی (ϕR_{nt}) و مقاومت برشی طراحی (ϕR_{nv}) پیچ‌ها و قطعات دندانه‌شده از روابط زیر تعیین می‌گردند.

$$\phi R_{nt} = \phi F_{nt} A_{nb} \quad (4-9-2-10)$$

$$\phi R_{nv} = \phi F_{nv} A_{nb} \quad (5-9-2-10)$$

در روابط فوق:

ϕ = ضریب کاهشی مقاومت و مساوی ۷۵٪ می‌باشد.

R_{nt} = مقاومت کششی اسمی

R_{nv} = مقاومت برشی اسمی

A_{nb} = سطح مقطع اسمی وسیله اتصال (پیچ یا قطعه دندانه‌شده)

F_{nt} = تنش کششی اسمی مطابق مقادیر جدول ۱۰-۹-۲-۱۰

F_{nv} = تنش برشی اسمی مطابق مقادیر جدول ۱۰-۹-۲-۱۰

اتصالات اتکایی

جدول ۱۰-۹-۲ تنش اسمی (پیچ و قطعات دندانه شده)

| اتصالات اتکایی | تنش برشی اسمی (F_{nv}) در اتصالات اتکایی | تنش کششی اسمی (F_{nt}) | نوع وسیله اتصال |
|-------------------------------------|---|-------------------------------|---|
| $\cdot / 45 F_u$ ^{[۵],[۲]} | $\cdot / 75 F_u$ ^{[۱],[۲]} | | پیچ‌های معمولی |
| $\cdot / 45 F_u$ ^[۵] | $\cdot / 75 F_u$ ^[۴] | | پیچ‌های پر مقاومت در حالتی که سطح برش از قسمت دندانه شده می‌گذرد |
| $\cdot / 55 F_u$ ^[۵] | $\cdot / 75 F_u$ ^[۴] | | پیچ‌های پر مقاومت در حالتی که سطح برش از قسمت دندانه شده نمی‌گذرد |
| $\cdot / 45 F_u$ | $\cdot / 75 F_u$ ^{[۱],[۶]} | | قطعه دندانه شده طبق مشخصات تعیین شده، در حالتی که سطح برش از قسمت دندانه شده می‌گذرد |
| $\cdot / 55 F_u$ | $\cdot / 75 F_u$ ^{[۱],[۶]} | | قطعه دندانه شده طبق مشخصات تعیین شده، در حالتی که سطح برش از قسمت دندانه شده نمی‌گذرد |

برای میل مهارهای کف ستون

اتصالات اتکایی

۱۰-۲-۹-۳-۴ اثر مشترک کشش و برش در اتصالات اتکایی

مقاومت کششی طراحی و برشی طراحی پیچهای تحت اثر توأم کشش و برش باید بر اساس
حالتهای حدی گسیختگی کششی و برشی مطابق روابط زیر تعیین شود.

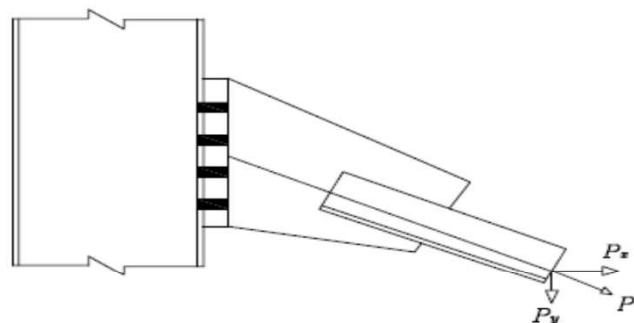
$$\phi R_{nt} = \phi F'_{nt} A_{nb} \quad (6-9-2-10)$$

$$\phi R_{nv} = \phi F'_{nv} A_{nb} \quad (7-9-2-10)$$

که در آن:

$$F'_{nt} = F_{nt} \left[1/\gamma - \frac{f_{uv}}{\phi F_{nv}} \right] \leq F_{nt} \quad (8-9-2-10)$$

$$F'_{nv} = F_{nv} \left[1/\gamma - \frac{f_{ut}}{\phi F_{nt}} \right] \leq F_{nv} \quad (9-9-2-10)$$



اتصالات اتکایی

ϕ = ضریب کاهشی مقاومت و مساوی ۰/۷۵ می باشد.

F_{nt} = مقاومت کششی اسمی مطابق جدول ۱۰-۹-۲-۱۰ وقتی که نیروی کششی به تنها یی عمل نماید.

F_{nv} = مقاومت برشی اسمی مطابق جدول ۱۰-۹-۲-۱۰ وقتی که نیروی برشی به تنها یی عمل نماید.

f_{uv} = تنش برشی مورد نیاز

f_{ut} = تنش کششی مورد نیاز

A_{nb} = سطح مقطع اسمی پیچ

تبصره: در مواردی که تنش کششی یا برشی مورد نیاز کمتر از ۳۰ درصد تنش طراحی متناظر

باشد ($f_u \leq 0.3\phi F_n$)، منظور کردن رابطه اندرکنش لازم نیست.

اتصالات اصطکاکی

۱۰-۲-۹-۳-۵ مقاومت کششی طراحی و برشی طراحی در اتصالات اصطکاکی

مقاومت کششی طراحی پیچ‌های پر مقاومت در اتصالات اصطکاکی عیناً مشابه مقاومت کششی طراحی پیچ‌های پر مقاومت در اتصالات اتکایی بوده و از ضوابط بند ۱۰-۳-۹-۲-۳ تعیین می‌گردد. مقاومت برشی طراحی پیچ‌های پر مقاومت در اتصالات اصطکاکی بر اساس کنترل لغزش بحرانی تعیین می‌گردد. مقاومت برشی طراحی پیچ‌های پر مقاومت در اتصالات اصطکاکی بر اساس کنترل لغزش بحرانی مساوی ϕR_{nv} می‌باشد که در آن، ϕ ضریب کاهش مقاومت و R_{nv} مقاومت برشی اسمی به شرح زیر می‌باشد.

اتصالات اصطحکاکی

$$R_{nv} = \mu D_u h_f T_b n_s \quad (10-9-2-10)$$

که در آن:

ϕ = ضریب کاهش مقاومت به شرح زیر:

- برای سوراخ‌های استاندارد و سوراخ لوبیایی کوتاه در امتداد عمود بر راستای نیرو $\phi = 1$
- برای سوراخ‌های بزرگ‌شده و سوراخ لوبیایی کوتاه در امتداد موازی با راستای نیرو $\phi = 0.85$
- برای سوراخ‌های لوبیایی بلند $\phi = 0.7$

اتصالات اصطحکاکی

μ = ضریب اصطکاک به شرح زیر:

- برای وضعیت سطحی کلاس A (سطح فلسفدار تمیز و رنگ شده): $\mu = 0.3$

- برای وضعیت سطحی کلاس B (سطح تمیز شده با ماسه پاشی و رنگ نشده): $\mu = 0.5$

D_u = نسبت پیش تنبیدگی متوسط پیچها به پیش تنبیدگی حداقل پیچها و مساوی ۱/۱۳
 h_f = ضریب کاهش بخاطر وجود ورقهای پرکننده در بین قطعات متصل به یکدیگر به شرح زیر:

- در صورت عدم نیاز به ورقهای پرکننده در بین قطعات متصل به یکدیگر مساوی ۱

- در صورت استفاده فقط از یک ورق پرکننده در بین قطعات متصل به یکدیگر مساوی ۱

- در صورت استفاده از دو یا تعداد بیشتری از ورقهای پرکننده در بین قطعات متصل به یکدیگر مساوی ۰/۸۵

T_b = حداقل نیروی پیش تنبیدگی پیچ طبق مقادیر جدول ۱۰-۲-۹-۷

n_s = تعداد صفحات لغزش

اتصالات اصطحکاکی



اتصالات اصطحکاکی

۶-۳-۹-۲-۱۰ اثر مشترک کشش و برش در اتصالات اصطحکاکی

در اتصالات اصطحکاکی، در صورت وجود توأم نیروی کششی و برشی، مقاومت برشی اسمی بر اساس کنترل لغزش طبق رابطه ۱۰-۹-۲-۱۰ باید به شرح زیر در ضریب کاهش k_{sc} ضرب گردد.

$$k_{sc} = 1 - \frac{T_u}{D_u T_b n_b} \quad (11-9-2-10)$$

که در آن:

T_u = نیروی کششی مورد نیاز

D_u = نسبت پیش‌تنیدگی متوسط پیچ‌ها به پیش‌تنیدگی حداقل پیچ‌ها و مساوی ۱/۱۳

T_b = حداقل نیروی پیش‌تنیدگی پیچ طبق جدول ۷-۹-۲-۱۰

n_b = تعداد پیچ‌هایی که نیروی کششی را تحمل می‌کنند.

مقاومت اتكايني

۷-۳-۹-۲-۱۰ مقاومت اتكايني در جدار سوراخ پيچ

مقاومت اتكايني طراحى در جدار سوراخ پيچ در اتصالات اتكايني و اصطکاكى مساوى ϕR_n مى باشد که در آن ϕ ضريرب کاهش مقاومت برابر $75/0$ و R_n مقاومت اتكايني اسمى مى باشد که بر اساس حالت حدی اتكايني برای حالت هاي مختلف به شرح زير تعبيين مى گردد.

۱. برای سوراخ استاندارد، سوراخ بزرگ شده، سوراخ لوبیايني کوتاه و سوراخ لوبیايني بلند در حالتی که نiero در امتداد طولی باشد:

$$R_n = 1/2 I_c t F_u \leq 2/4 d t F_u \quad (12-9-2-10)$$

۲. برای سوراخ لوبیايني بلند در حالتی که نiero در امتداد عرضی باشد (محور شکاف عمود بر امتداد نiero باشد)

$$R_n = 1/0 I_c t F_u \leq 2/0 d t F_u \quad (13-9-2-10)$$

مقاومت اتکایی

در روابط فوق:

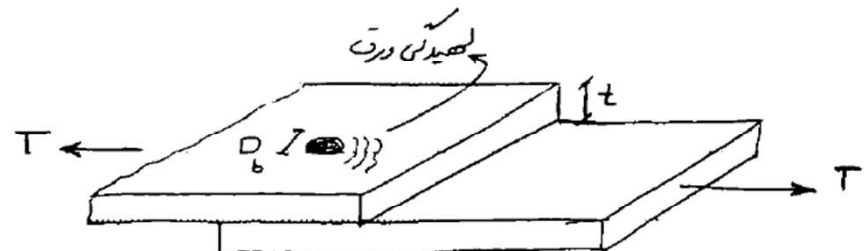
d = قطر اسمی پیچ

F_u = تنش کششی نهایی مصالح ورق اتصال

t = ضخامت قطعه اتصال

l_c = فاصله خالص در راستای نیرو، بین لبه سوراخها برای سوراهای میانی

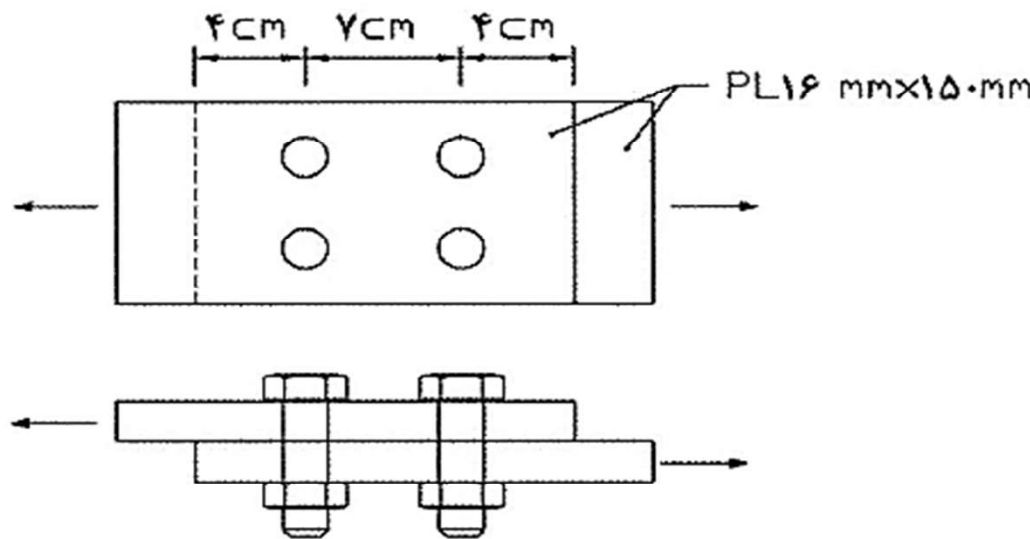
= فاصله خالص در راستای نیرو، بین لبه سوراخ تا لبه آزاد ورق اتصال برای سوراهای انتهایی



مثال

مثال: مقاومت کششی اتصال نشان داده با پیچ M22 و نوع A325 و سوراخ استاندارد را برای حالات زیر بدست آورید.

- الف) اتصال اتکایی و رزوه پیچ در صفحه برش قرار دارد
- ب) اتصال اتکایی و رزوه پیچ در صفحه برش قرار ندارد.
- پ) اتصال اصطحکاکی



حل مثال

ابتدا فاصله سوراخها از یکدیگر و تالبه عضو بر اساس ضوابط آیین نامه بررسی می شود.

M۲۲

$$3d = 3(2/2) = 6/6 \text{ cm} < 7 \text{ cm}$$

با فرض لبه برش داده شده،

$$38 \text{ mm} < 40 \text{ mm}$$

قطر سوراخ استاندارد برابر است با،

$$d_h = 24 \text{ mm}$$

قطر سوراخ در محاسبات باید 2 mm بیشتر از قطر سوراخ قرار داده شود.

$$d_h = 24 + 2 = 26 \text{ mm}$$

حل مثال

$$A_g = (1/6)(15) = 24 \text{ cm}^2$$

$$A_n = 24 - 2(2/6)(1/6) = 15/7 \text{ cm}^2$$

$$A_n = 0/185(24) = 20/4 \text{ cm}^2$$

$$A_e = A_n = 15/7 \text{ cm}^2$$

محاسبه مقاومت کششی ورق:

مقاومت کششی طراحی در اثر تسلیم فولاد در سطح مقطع کل تعیین می‌گردد.

$$P_n = F_y A_g$$

$$P_n = (2/4)(24) = 57/6 t$$

$$\phi_t P_n = (0/9)(57/6) = 51/8 t$$

مقاومت کششی طراحی در اثر مقاومت نهایی فولاد در سطح مقطع موثر خالص نیز به دست می‌آید.

$$P_n = F_u A_e$$

$$P_n = (3/7)(15/7) = 58/1 t$$

$$\phi_t P_n = (0/75)(58/1) = 43/6 t$$

مقاومت نهایی فولاد کنترل کننده است.

در مورد اتصالات پیچی معمولاً مقاومت نهایی فولاد کنترل کننده است.

حل مثال

الف) مقاومت پیچ بررسی می شود.

$$R_n = F_n A_b$$

$$R_n = (4)(3/3)(3/\lambda) = 50/2$$

$$\phi R_n = (0/75)(50/2) = \underline{37/7t}$$

مقاومت اتكایی تعیین می گردد.

$$R_n = 1/5 L_c t F_u \leq 3dtF_u$$

$$(R_n)_b = 1/5(4 - 1/2)(1/6)(3/7) = 24/9t \leq 3(2/2)(1/6)(3/7) = 39/1t$$

$$\phi R_n = 4(0/75)(24/9) = 74/7t$$

مقاومت طراحی پیچ کنترل کننده است.

حل مثال

(ب)

$$R_n = (4)(4/14)(3/\lambda) = 62/9t$$

$$\phi R_n = (0/75)(62/9) = 47/2t$$

در این حالت، مقاومت ورق کنترل کننده است.

$$\phi_t P_n = \underline{43/6t}$$

(پ)

$$R_n = \mu D_u h_{sc} T_b N_s$$

$$T_b = 17/6t$$

$$R_n = 4(0/5)(1/13)(1)(17/6)(1) = 39/\lambda t$$

$$\phi R_n = (1)(39/\lambda) = \underline{39/\lambda t}$$

مقاومت طراحی پیچ کنترل کننده است.

حل مثال

الف) مقاومت پیچ بررسی می شود.

$$R_n = F_n A_b$$

$$R_n = (4)(3/3)(3/\lambda) = 50/2$$

$$\phi R_n = (0/75)(50/2) = \underline{37/7t}$$

مقاومت اتكایی تعیین می گردد.

$$R_n = 1/5 L_c t F_u \leq 3dtF_u$$

$$(R_n)_b = 1/5(4 - 1/2)(1/6)(3/7) = 24/9t \leq 3(2/2)(1/6)(3/7) = 39/1t$$

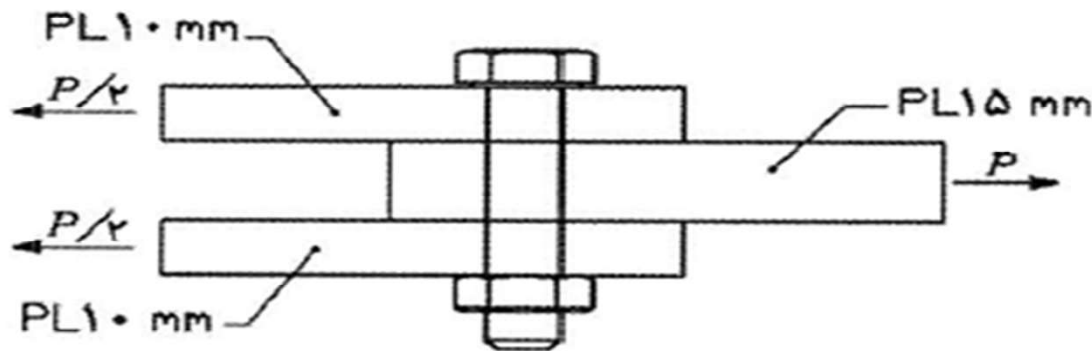
$$\phi R_n = 4(0/75)(24/9) = 74/7t$$

مقاومت طراحی پیچ کنترل کننده است.

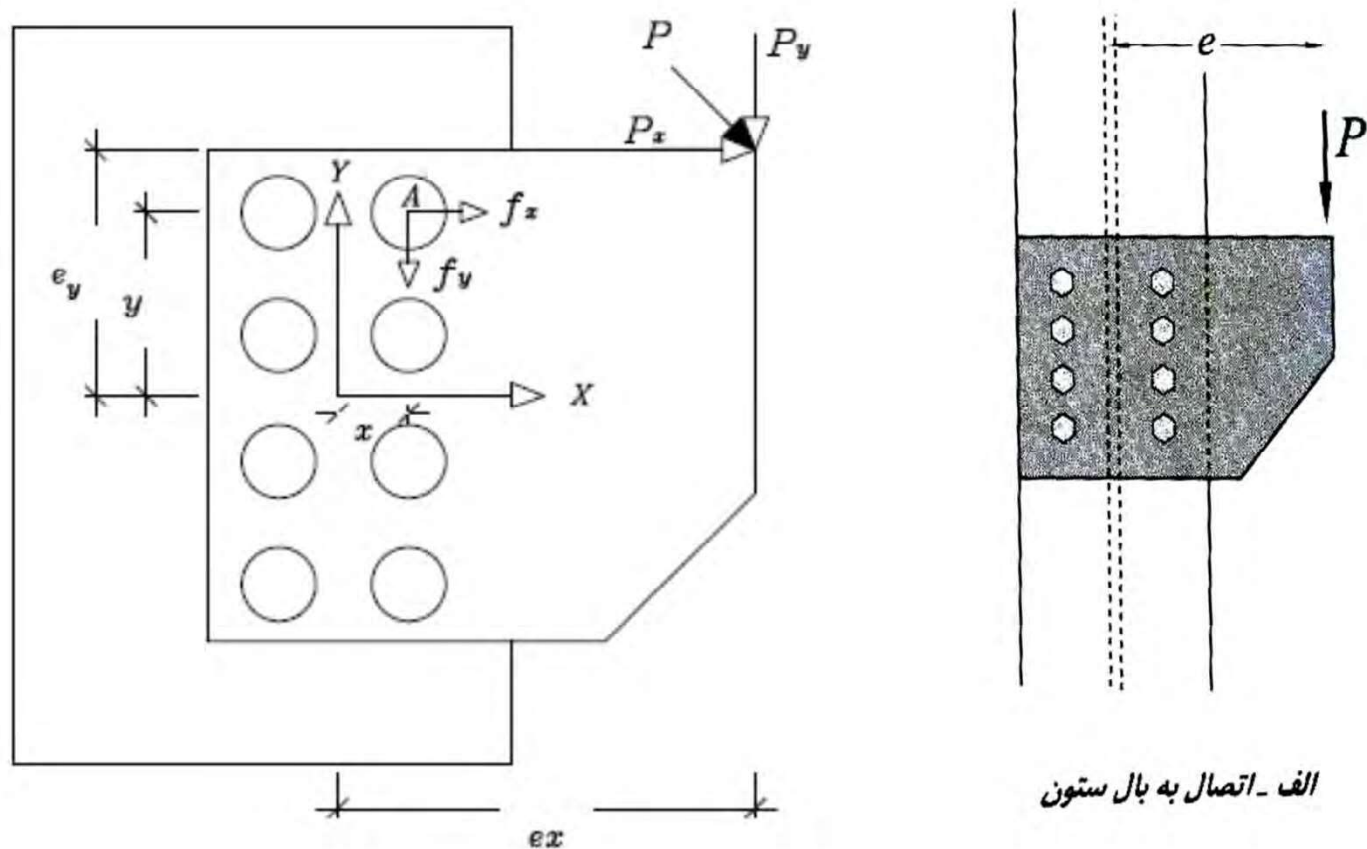
تمرین

مثال: تعداد پیچ مورد نیاز M22 از نوع A490 در اتصال شکل زیر برای یک ردیف را بدست آورید. مقدار بار مرده ۵۰ تن و بار زنده ۳۰ تن است. فولاد St-37 و سوراخ استاندارد است.

- الف) اتصال اتکایی و رزووه پیچ در صفحه برش قرار دارد.
- ب) اتصال اتکایی و رزووه پیچ در صفحه برش قرار ندارد.
- پ) اتصال اصطحکاکی



اثر توام برش و پیچش: (برش با خروج از مرکزیت)



روش حل

ابتدا تنشی های ناشی از برش را تعیین می نماییم:

$$\begin{cases} f_{vx} = \frac{P_{ux}}{\sum A_b} \\ f_{vy} = \frac{P_{uy}}{\sum A_b} \end{cases}$$

کلیه تعاریف مانند آنچه در بخش برش گفته شده می باشد.

روش حل

پس از محاسبه تنش های ناشی از برش تنش های ناشی از پیچش را تعیین می نماییم این تنشها می باشد در پیچ بحرانی محاسبه گردند.

$$\begin{cases} f_{vx}' = \frac{T \cdot y}{I_p} \\ f_{vy}' = \frac{T \cdot x}{I_p} \end{cases}$$

لنگر پیچشی: $T = P_{ux} \cdot e_y \pm P_{uy} \cdot e_x$

فاصله افقی و قائم پیچ بحرانی تا مرکز سطح پیچ ها: x, y :

ممان اینرسی قطبی: $I_p = A_b \sum (x_i^2 + y_i^2)$

فاصله افقی و قائم پیچ ها تا مرکز سطح پیچ ها: x_i, y_i

حال برآیند تنش ها را با تنش اسمی برشی مقایسه می نماییم:

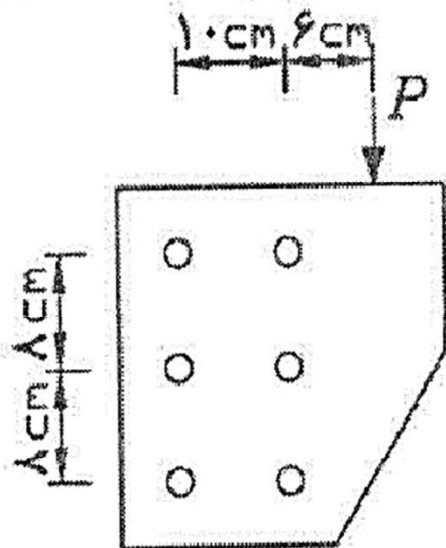
$$f_r = \sqrt{(f_{vx} \pm f_{vx}')^2 + (f_{vy} \pm f_{vy}')^2} \leq \varphi F_{nv}$$

تنش اسمی برشی مطابق جدول ۱۰-۲-۹-۱۰:

ضریب تقلیل مقاومت: $\varphi = 0.75$

مثال

مثال ۷-۷ : اتصال نشان داده شده در شکل را در هر دو حالت اتصال اتکایی (رزوه پیچ در صفحه برش قرار ندارد) و اتصال اصطکاکی با استفاده از روش LRFD مورد بررسی قرار دهید. بارهای وارد P_l = ۸t، P_d = ۴t، پیچها M۲۰ و از نوع پر مقاومت A325 می باشند.



برای اتصال مورد نظر و با توجه به توضیحات فوق، پیچ سمت راست ردیفهای بالا و پایین تحت اثر بیشترین مقدار تنش قرار دارند. تنش در پیچهای بخرازی بررسی می شود.

$$P_u = 1/2(4) + 1/6(8) = 17/6t$$

حل مثال

$$e = \delta + \omega = 11 \text{ cm}$$

$$T_u = (17/6)(11) = 193/6 \text{ t/cm}$$

$$f_s = \frac{17/6}{6(3/14)} = 0.934 \text{ t/cm}^2$$

$$\sum x^r + \sum y^r = \delta(\Delta)^r + \omega(\lambda)^r = 40.6 \text{ cm}^r$$

$$f_{nx} = \frac{(193/6)(\Delta)}{(3/14)(40.6)} = 1/215 \text{ t/cm}^r$$

$$f_{ny} = \frac{(193/6)(\omega)}{(3/14)(40.6)} = 0.759 \text{ t/cm}^r$$

حداکثر تنش به دست می‌آید.

$$f_{\max} = \sqrt{(1/215)^r + (0.759)^r} = 2/0.8 \text{ t/cm}^r$$

حل مثال

اتصال اتکایی (رزوه پیج در صفحه برش قرار دارد):

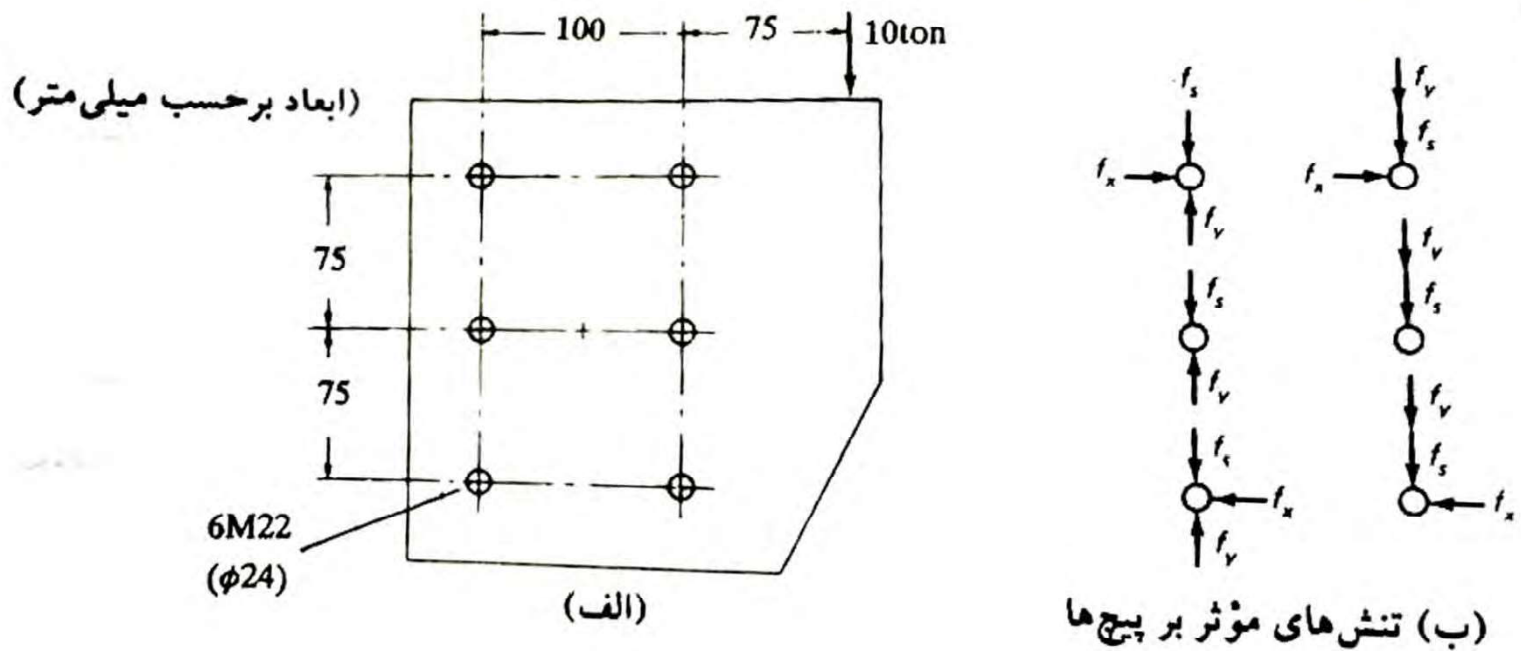
$$2/0.8 \text{ t/cm}^2 < (0/75)(4/14) = 2/11 \text{ t/cm}^2$$

اتصال اصطکاکی:

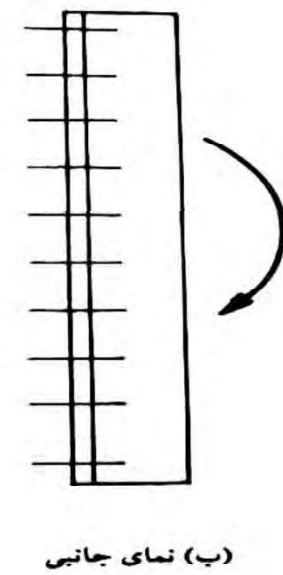
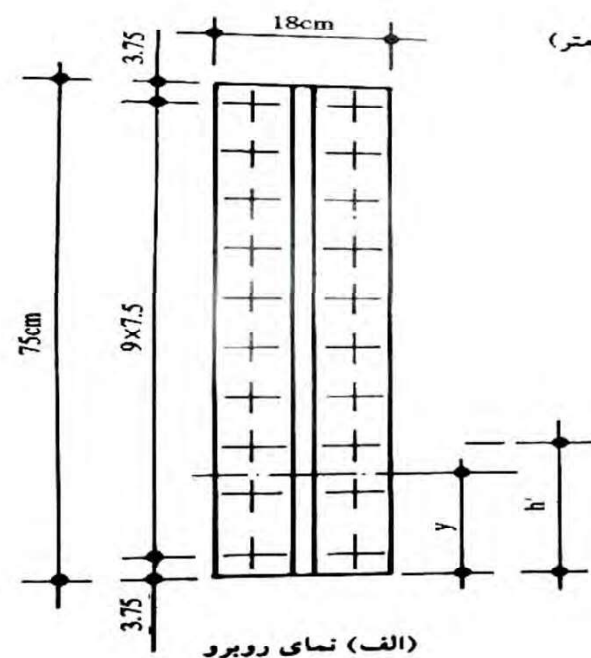
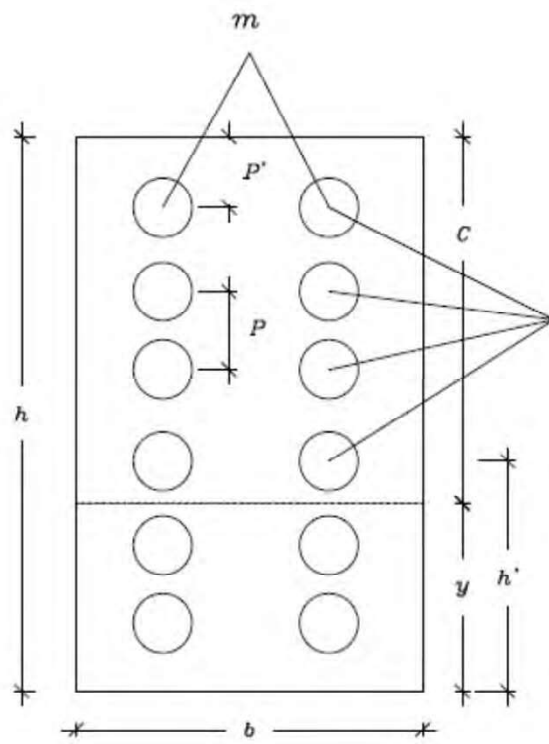
$$2/0.8 \text{ t/cm}^2 < \frac{(1)(0/5)(1/13)(1)(14/2)(1)}{2/14} = 2/56 \text{ t/cm}^2$$

تمرین

مثال: اتصال شکل زیر را برای حالت اتکایی و اصطحکاکی کنترل نمایید. پیچ‌ها از نوع پر مقاومت 8.8 می باشند. فرض نمایید که صفحه برش خارج از ناحیه دنده شده پیچ‌ها می باشد و کنترل تنش لهیلدگی در ورق لازم نیست.

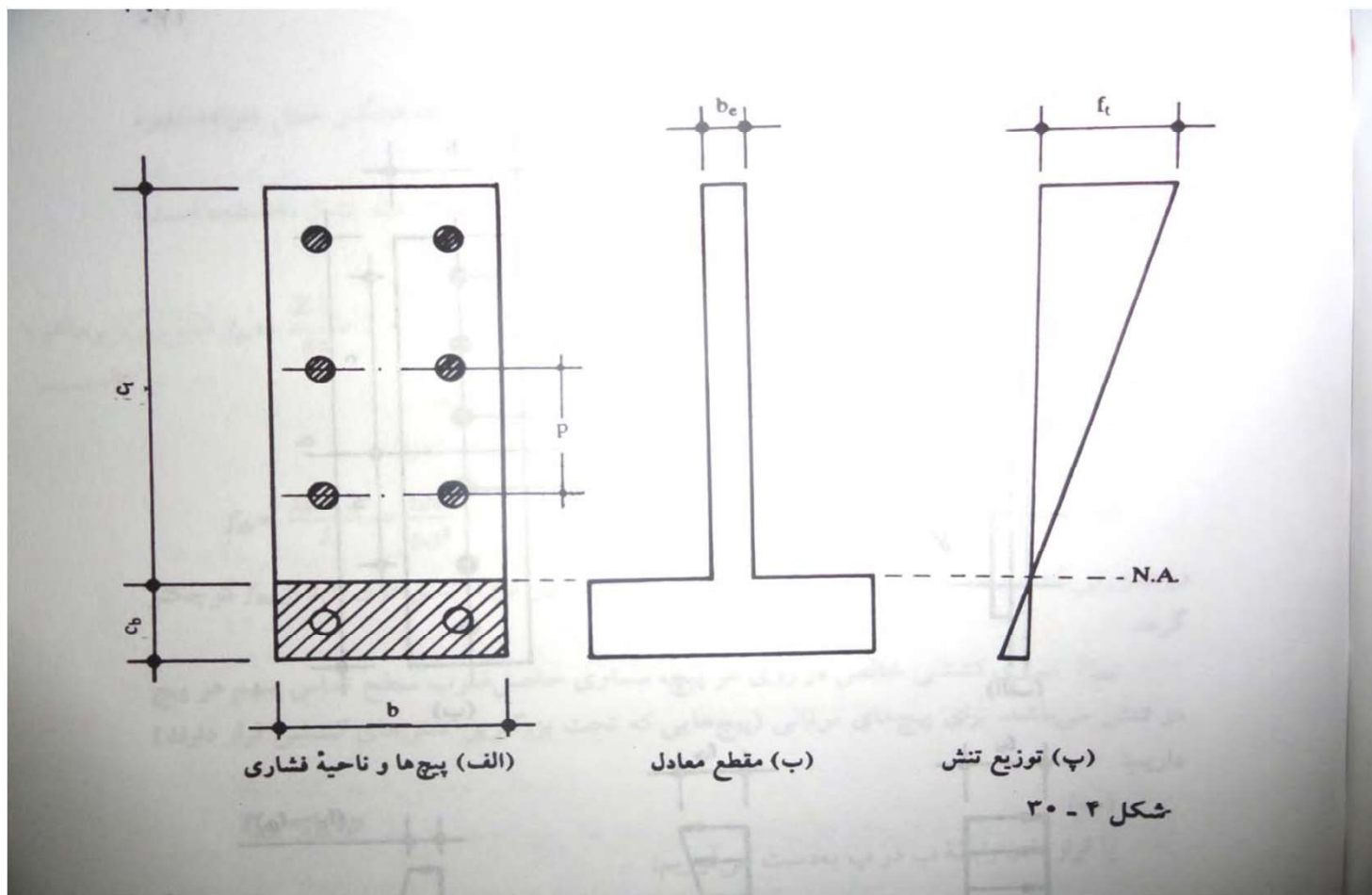


اتصالات پیچی تحت اثر خمث

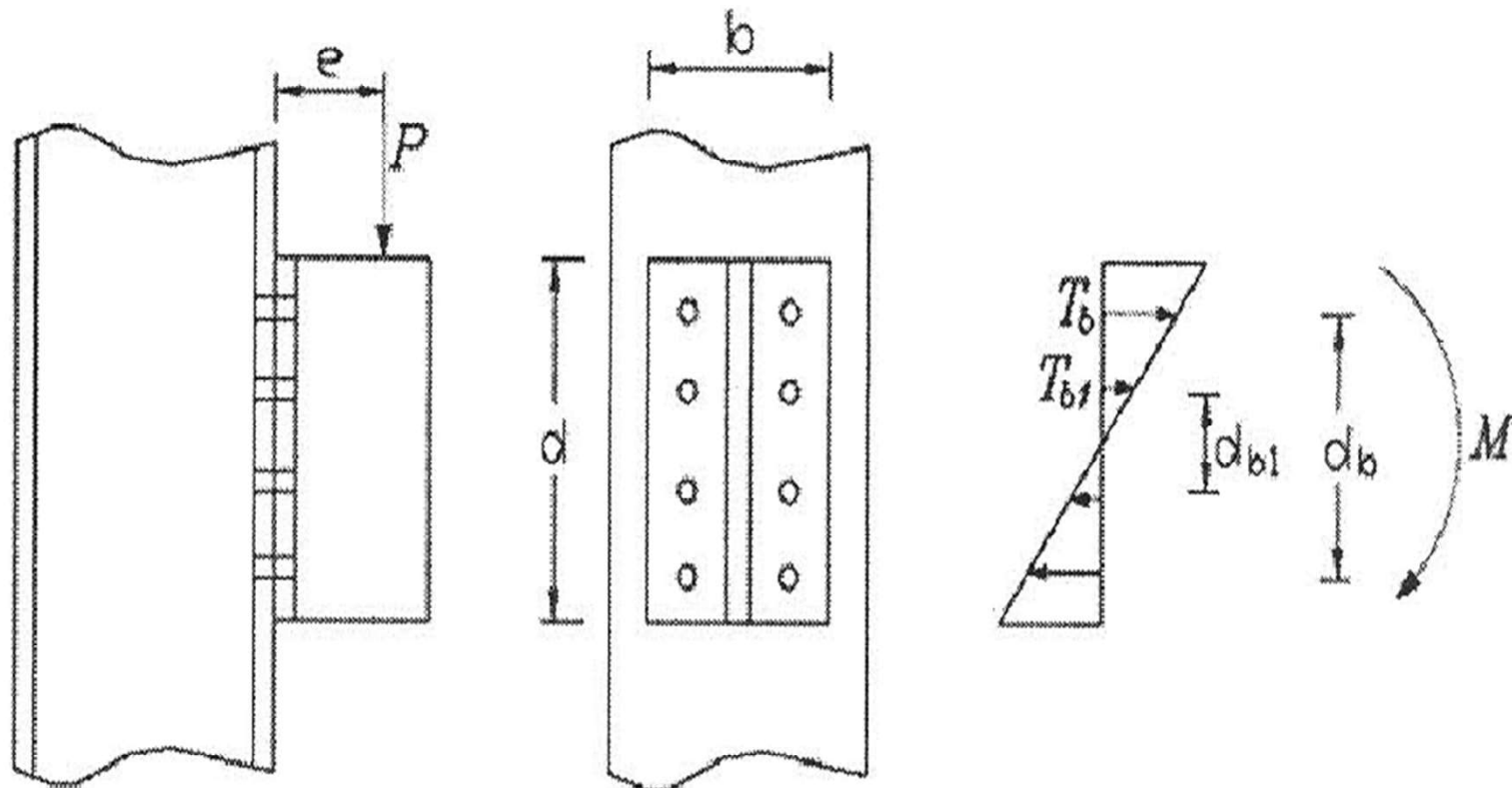


(ابعاد بر حسب سانتی متر)

عملکرد



عملکرد



ترکیب برش و خمش با فرض عملکرد انفرادی پیچ ها (اتکایی)

با توجه به اینکه خمش در پیچ ها ایجاد کشش می نماید این حالت مانند حالت کشش و برش محاسبه می گردد که در این حالت تنש کششی و برشی برابر است با:

$$f_v = \frac{P_u}{\sum A_b}$$

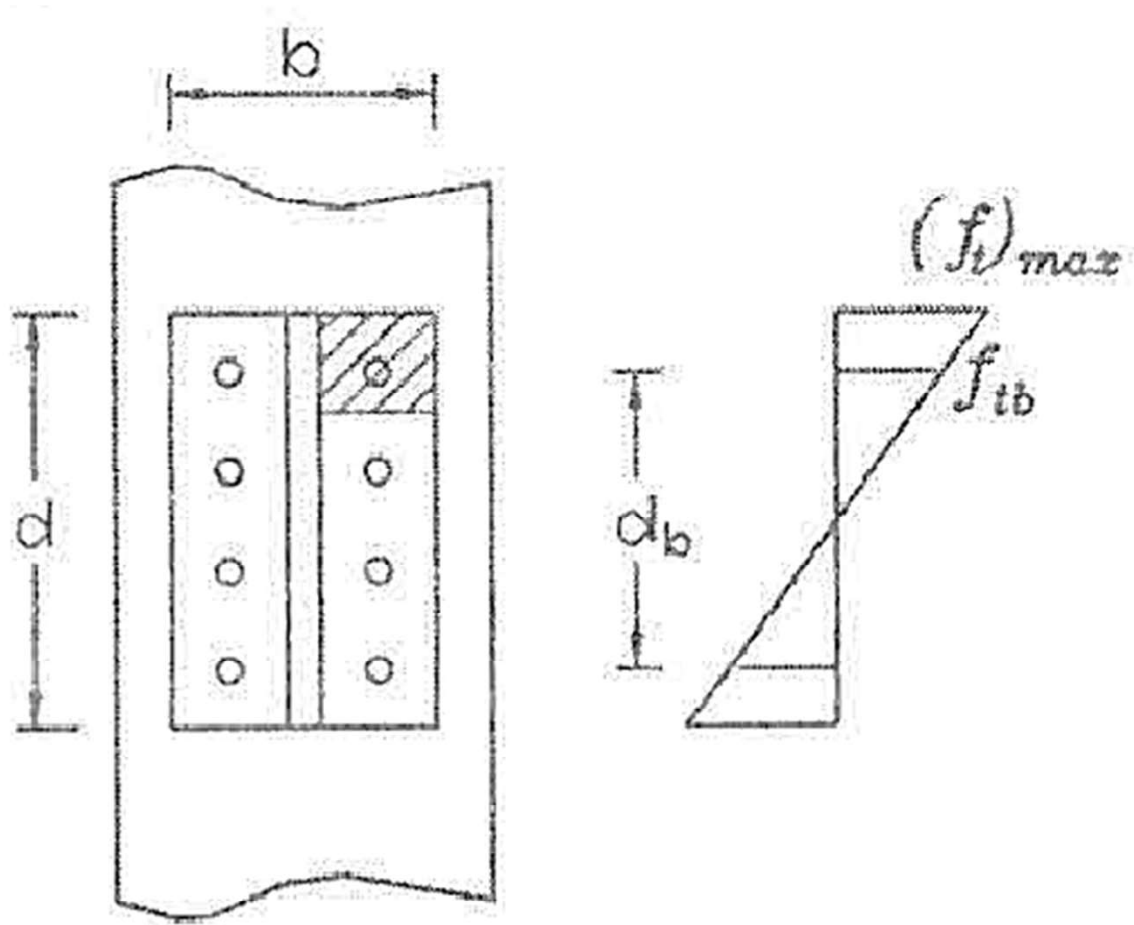
$$f_t = \frac{T_u}{nA_b}$$

مقدار کشش در بالاترین ردیف پیچ ها برابر است با:

$$T_b = \frac{Md_b}{2(d_b^2 + d_{b1}^2)}$$

لنگر خمی وارد بر اتصال: $M = P_u \cdot e$

ترکیب برش و خمش با فرض عملکرد یکپارچه پیچ ها (اصطحکاکی)



ترکیب برش و خمش با فرض عملکرد یکپارچه پیچ ها (اصطحکاکی)

حداکثر تنش کششی در اثر لنگر خمشی برابر است با:

$$(f_t)_{\max} = \frac{Mc}{I} = \frac{\epsilon M}{bd^3} \quad (45-7)$$

تنش در محل پیچ (f_{tb}) از تناسب تنش ها به دست می آید.

$$f_{tb} = (f_t)_{\max} \left(\frac{d_b}{d} \right) \quad (46-7)$$

نیروی کششی پیچ از حاصل ضرب تنش پیچ در سطح باربری آن نتیجه می شود. در برخی موارد لازم است این سطح به طور تقریبی تعیین گردد.

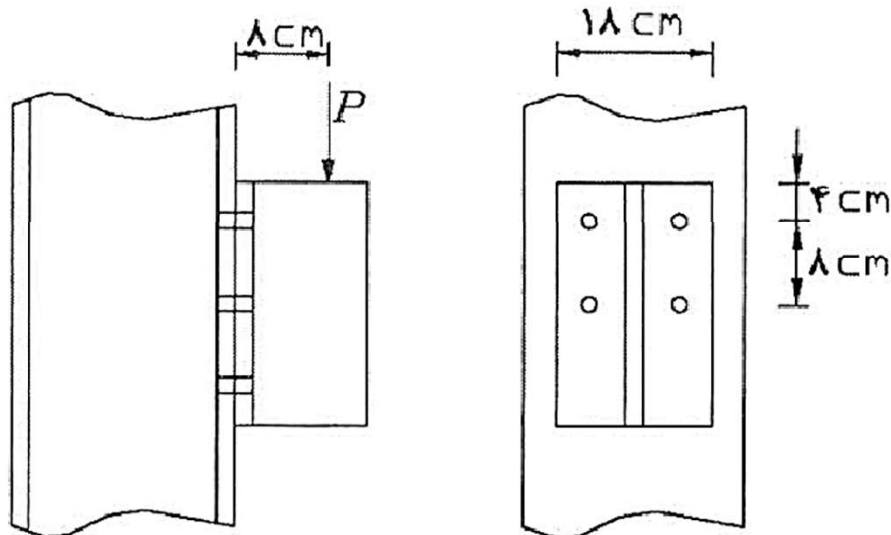
$$T_b = f_{tb} A_{tb} \quad (47-7)$$

A_{tb} - سطح باربری پیچ

مثال

مثال ۹-۷ : تعداد پیچ‌های مورد نیاز اتصال نشان داده شده در شکل را در دو حالت زیر و با استفاده از روش LRFD به دست آورید. بار مرده $P_d = 10t$ ، بار زنده $P_i = 30t$ ، پیچ‌ها M_{20} و از نوع پر مقاومت A490 می‌باشند.

الف) اتصال اتکایی (رزوه پیچ در صفحه برش قرار ندارد)



ب) اتصال اصطکاکی

حل مثال

$$P_u = 1/2(10) + 1/6(30) = 60 t$$

الف) مقاومت اتكایی یک پیچ به دست می‌آید.

$$R_n = (5/2)(3/14) = 16/33 t$$

$$\phi R_n = (0.75)(16/33) = 12/25 t$$

$$n = \frac{60}{12/25} = 4/9$$

با توجه به لنگر وارد، اتصال با فرض ۸ پیچ مورد بررسی قرار می‌گیرد.

$$f_v = \frac{60}{8(3/14)} = 2/39 t/cm^2$$

$$M = (60)(8) = 480 t\cdot cm$$

حل مثال

از رابطه عملکرد انفرادی پیچ‌ها استفاده می‌شود.

$$T_b = \frac{(480)(24)}{2[(24)^2 + (8)^2]} = 9/0 \text{ t}$$

$$f_t = \frac{9/0}{3/14} = 2/87 \text{ t/cm}^2$$

تنش ترکیبی بررسی می‌شود.

$$F_{nt}' = 1/3(7/8) - \frac{7/8}{(0/75)(5/2)} (2/39) = 5/36 \text{ t/cm}^2$$

$$2/87 \text{ t/cm}^2 < (0/75)(5/36) = 4/02 \text{ t/cm}^2$$

$$2/39 \text{ t/cm}^2 < (0/75)(5/2) = 3/9 \text{ t/cm}^2$$

قابل قبول است.

حل مثال

ب) اتصال طراحی شده در حالت الف مورد بررسی قرار می‌گیرد.
 مقاومت اصطکاکی یک پیچ به دست می‌آید.

$$R_n = (0/5)(1/12)(1)(17/9)(1) = 10/11 t$$

$$\phi R_n = (1)(10/1) = 10/1 t$$

در این حالت، برای تعیین نیروی کششی پیچ از حالت عملکرد یکپارچه اتصال استفاده می‌شود.

$$(f_t)_{\max} = \frac{6(480)}{(18)(32)} = 0/156 t/cm^2$$

$$f_{tb} = 0/156 \left(\frac{12}{16}\right) = 0/117 t/cm^2$$

$$T_b = (0/117)(9)(8) = 8/42 t$$

ملاحظه می‌شود که در مورد این مثال، اختلاف نیروی کششی در دو حالت بسیار ناچیز است.

حل مثال

$$f_t = \frac{\lambda / 42}{3 / 14} = 2 / 68 \text{ } t/cm^2$$

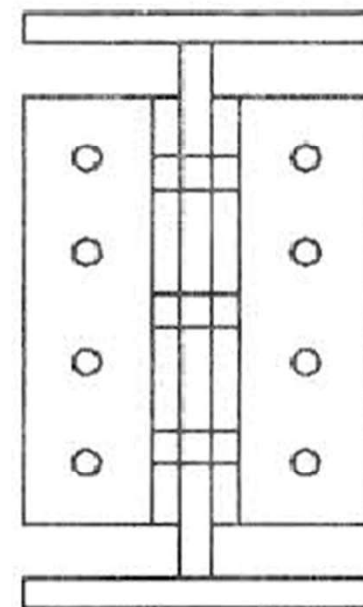
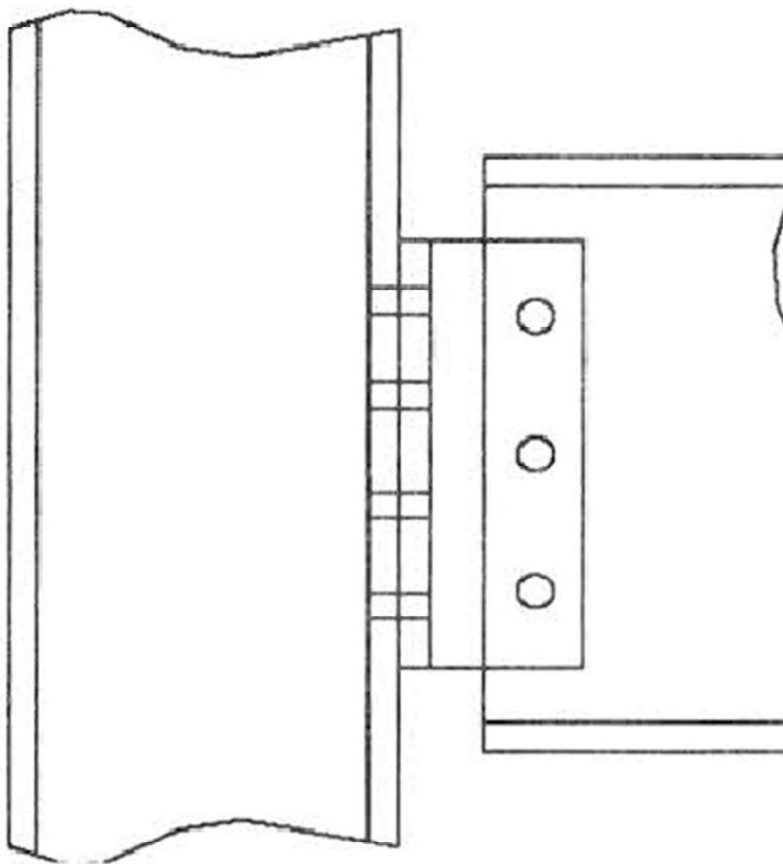
$$k_s = 1 - \frac{\lambda / 42}{(1 / 13)(17 / 9)(1)} = 0 / 584$$

$$f_v \leq k_s \phi F_{nv}$$

$$2 / 39 \text{ } t/cm^2 > \frac{(0 / 584)(10 / 1)}{3 / 14} = 1 / 88 \text{ } t/cm^2$$

اتصال به صورت اصطکاکی جوابگو نمی‌باشد و لازم است تعداد پیچ‌ها افزایش داده شوند.

اتصالات ساده پیچی



اتصالات گیردار (خمشی)

